

объединенный
институт
ядерных
исследований
дубна

P2-84-816

В.А.Бедняков, Ю.П.Иванов, П.С.Исаев

О ВЛИЯНИИ

ТВИСТОВЫХ ПОПРАВК НА $\sin^2\theta_W$

Направлено в журнал "Ядерная физика"
и на VI Рабочее совещание
по нейтринному детектору

1984

ВВЕДЕНИЕ

Экспериментальное определение фундаментального параметра стандартной теории электрослабых взаимодействий^{/1/} - синуса угла Вайнберга ($\sin^2 \theta_W$) - представляет в настоящее время несомненный интерес - значение $\sin^2 \theta_W$ связано с величинами масс промежуточных бозонов, для него даются предсказания в различных моделях великого объединения^{/2/}.

Чтобы извлечь из эксперимента правильное значение $\sin^2 \theta_W$, необходимо учесть влияние эффектов поправочного характера. Без их учета $\sin^2 \theta_W$ определяется с заметной систематической ошибкой. Например, из отношения сечений $\sigma(\nu N \rightarrow \nu X) / \sigma(\nu N \rightarrow \mu X)$ было получено - $\sin^2 \theta_W = 0,227 \pm 0,015$. Включение всех электрослабых поправок /W и Z - пропагаторные поправки, перенормировка вершинных и волновых функций, учет двух W-бозонного обмена и реального тормозного излучения/ дало значение $\sin^2 \theta_W = 0,215 \pm 0,015$ ^{/3/}. Аналогично, учет поправок в экспериментах по измерению асимметрии в eд-рассеянии /SLAC/ снизил значение $\sin^2 \theta_W$ с $0,223 \pm 0,015$ до $0,215 \pm 0,015$ ^{/3/}.

Оставляя в стороне важные вопросы о роли радиационных поправок /которые, как видим, уменьшают значение $\sin^2 \theta_W$ на 3÷5%/, рассмотрим влияние структуры мишени, а точнее, - эффектов высших твистов на извлекаемое из экспериментов по νN -рассеянию значение $\sin^2 \theta_W$.

Вопрос о влиянии твистовых поправок на значение $\sin^2 \theta_W$ впервые анализировался в работе^{/4/}. В ней было показано, что учет этих поправок изменяет $\sin^2 \theta_W$ примерно на 10%.

Однако позднее, на основании использования локальных операторов твиста 4, введенных в работе^{/5/}, процедуры вычисления коэффициентных функций^{/6/} и модели мешков^{/7/*}, было получено, что изменение $\sin^2 \theta_W$ при включении твистовых поправок не превышает 1-2%^{/8,9/}.

В нашей работе мы ставим ту же цель - определить влияние учета твистовых поправок на значение $\sin^2 \theta_W$. При рассмотрении этого вопроса мы будем следовать результатам работы^{/10/}, в которой на основе партоноподобной интерпретации вкладов операторов твиста 4^{/11/} сформулирована процедура извлечения из эксперимента первой твистовой поправки к структурным функциям. Зная извле-

* Модель мешков использовалась авторами^{/8,9/} для вычисления нуклонных матричных элементов локальных операторов твиста 4.

ченную из эксперимента величину твистовой поправки, оценим ее влияние на значение $\sin^2 \theta_W$. Эта задача решается в §2. В §1 сформулированы основные определения и даны необходимые формулы.

§1. ГЛУБОКОНЕУПРУГОЕ РАССЕЯНИЕ В КАНАЛЕ НЕЙТРАЛЬНЫХ ТОКОВ И ПОПРАВКИ ВЫСШИХ ТВИСТОВ

Как известно, инклюзивное сечение νN -рассеяния $\nu(k) + N(p) \rightarrow \nu'(k') + X$ пропорционально адронному тензору $W_{\mu\nu}(p, q)$, выражающемуся в виде линейной комбинации инвариантных структурных функций

$$F_1(x, Q^2) = W_1/M, \quad F_2(x, Q^2) = \nu W_2, \quad F_3(x, Q^2) = \nu W_3:$$

$$W_{\mu\nu} = \int dze^{iqz} \langle p | J_\mu(z) J_\nu(0) | p \rangle = (-g_{\mu\nu} + \frac{q_\mu q_\nu}{q^2}) W_1 + \quad /1/$$

$$+ (p_\mu - \frac{pq}{q^2} q_\mu) (p_\nu - \frac{pq}{q^2} q_\nu) \frac{W_2}{M^2} - i \epsilon_{\mu\nu\alpha\beta} p_\alpha q_\beta W_3 / M^2.$$

Здесь $Q^2 = -q^2 = -(k - k')^2$; $\nu = k_0 - k'_0$, $x = Q^2 / 2M\nu$, M - масса адронной мишени.

В рамках квантовой хромодинамики /КХД/, основного претендента на роль теории сильного взаимодействия, моменты структурных функций представляются бесконечным рядом по обратным степеням Q^2 :

$$\int_0^1 dx x^{n-1} F_k(x, Q^2) = C_{n,k}^{(0)}(1, \alpha_s(Q^2/\Lambda^2)) A_n(\alpha_s(Q^2/\Lambda^2)) + \sum_{m=1}^{\infty} \left(\frac{\hbar^2}{Q^2}\right)^m C_{n,k}^{(m)}(1, \alpha_s(Q^2/\Lambda^2)) D_n^{(m)}(\alpha_s(Q^2/\Lambda^2)). \quad /2/$$

Здесь $\alpha_s(Q^2/\Lambda^2)$ - бегущая константа связи, в главном логарифмическом приближении равная $0,48\pi n(\Lambda^2/Q^2)$, Λ - фундаментальный параметр КХД. Каждая величина в правой части соотношения /2/ обладает вполне определенным теоретико-полевым смыслом. A_n и $D_n^{(m)}$ - нуклонные матричные элементы так называемых вильсоновских операторов, в них концентрируется вся зависимость структурных функций от "больших" расстояний. Коэффициентные функции $C_{n,k}^{(m)}$, напротив, зависят только от свойств теории на "малых" расстояниях. Для их вычисления применимы методы асимптотически свободной теории возмущений. Первое слагаемое в правой части соотношения /2/, соответствующее приближению твиста $2/\tau = 2/$, содержит лишь логарифмическую зависимость от Q^2 , определяемую

эволюционными уравнениями Липатова-Алтарелли-Паризи^{/12/}. В этом приближении справедлива партонная интерпретация^{/13/} - матричным элементам A_n придается смысл моментов функций распределения $q(x, Q^2)$ кварков и глюонов в нуклоне:

$$A_n(Q^2) = \int_0^1 dx x^{n-1} q(x, Q^2).$$

Через эти функции распределения $\Phi_P/q(x, Q^2)$ в рамках партонной модели выражаются структурные функции $F_k(x, Q^2)$.

Остальные слагаемые в формуле /2/ включают $1/Q^2$ -зависимость и отвечают вкладам операторов высших твистов ($\tau > 2$).

Сечение глубоконеупругого νN -рассеяния в канале нейтральных токов выражается через Φ_P ^{/14/}:

$$\begin{aligned} \frac{d^2 \sigma^{\nu i}}{dx dy} = & \sigma_0 \{ [u_L^2 + u_R^2(1-y)^2] (xu^i(x, Q^2) + \hat{\xi}_c^i xc^i(x, Q^2)) + \\ & + [d_L^2 + d_R^2(1-y)^2] (xd^i(x, Q^2) + xs^i(x, Q^2)) + \\ & + [u_R^2 + u_L^2(1-y)^2] (x\bar{u}^i(x, Q^2) + \hat{\xi}_c^i x\bar{c}^i(x, Q^2)) + \\ & + [d_R^2 + d_L^2(1-y)^2] (x\bar{d}^i(x, Q^2) + x\bar{s}^i(x, Q^2)) \}. \end{aligned} \quad /3/$$

Здесь $\sigma_0 = \frac{2G^2}{\pi} ME_\nu$; $y = \nu/E_\nu$; $q^i(x, Q^2)$ - ФР q -кварка в протоне ($i=p$) или нейтроне ($i=n$); $u^p = d^n$, $d^p = u^n$, $c^n = c^p$, $s^n = s^p$. Выражение $\hat{\xi}_c^i xc$ понимается в смысле $\hat{\xi}_c^i xc = \theta(1-z)zc(z, Q^2)$, где $z = x + m_c^2/2M\nu$, m_c - масса очарованного кварка. Для изоскалярной мишени:

$$\frac{d^2 \sigma^{\nu N}}{dx dy} = \frac{1}{2} \left(\frac{d^2 \sigma^{\nu p}}{dx dy} + \frac{d^2 \sigma^{\nu n}}{dx dy} \right). \quad /4/$$

В стандартной теории электрослабого взаимодействия^{/1,14/} киральные константы $u_{L,R}$ и $d_{L,R}$ полностью определяются значением $\sin^2 \theta_W$:

$$\begin{aligned} u_L = 1/2 - 2/3 \sin^2 \theta_W, \quad u_R = -2/3 \sin^2 \theta_W; \\ d_L = -1/2 + 1/3 \sin^2 \theta_W, \quad d_R = 1/3 \sin^2 \theta_W. \end{aligned} \quad /5/$$

После интегрирования дифференциального сечения /3/ по переменным x и y получим:

$$\sigma^{\nu i} = \sigma_0 [u_L^2 U_L^i + u_R^2 U_R^i + d_L^2 D_L^i + d_R^2 D_R^i] \quad /6/$$

или, полагая $\xi = \sin^2 \theta_W$ и учтя /5/:

$$\sigma^{\nu i} = \sigma_0 [A^i \xi^2 + B^i \xi + C^i]. \quad /7/$$

Константы $U_{L,R}^i$, $D_{L,R}^i$, A^i , B^i , C^i определяются динамикой сильного взаимодействия и кинематическими ограничениями конкретного эксперимента по измерению $\sigma^{\nu i}$. Предположим, что $u = \bar{u} + 2v(x, Q^2)$, $d = \bar{d} + v(x, Q^2)$; $s(x, Q^2) = \bar{s} = \bar{c} = s = \bar{s}$, т.е. $v(x, Q^2)$ и $s(x, Q^2)$ - ФР валентного и морского кварка в протоне, соответственно. Тогда в приближении $\tau = 2$ для рассеяния нейтрино на изоскалярной мишени имеем:

$$A = \frac{4}{9} (U_L + U_R) + \frac{1}{9} (D_L + D_R), \quad C = \frac{1}{4} (U_L + D_L), \quad B = -\frac{2}{3} U_L - \frac{1}{3} D_L; \quad /8/$$

$$U_{L,R} = 3V_{L,R} + 2(S + C); \quad D_{L,R} = 3V_{L,R} + 4S. \quad /9/$$

где

$$V_L = \int dx dy g(x, y) xv(x, Q^2), \quad V_R = \int dx dy g(x, y) (1-y)^2 xv(x, Q^2),$$

$$S = \int dx dy g(x, y) (1 + (1-y)^2) xs(x, Q^2),$$

/10/

$$C = \int dx dy g(x, y) (1 + (1-y)^2) \theta(1-z) zs(z, Q^2),$$

$g(x, y)$ - функция, учитывающая кинематические ограничения.

Если известно экспериментальное значение $\sigma^{\nu N}$ и величины A , B , C , то по формуле /7/ можно определить $\xi = \sin^2 \theta_W$. Напомним, однако, что полученная таким способом величина ξ определена в рамках приближения $\tau = 2$ и не учитывает твистовых $1/Q^2$ -поправок.

В настоящее время убедительно показано, что отказ от учета твистовых поправок при анализе глубоконеупругих процессов представляется слишком грубым приближением, непригодным для адекватного описания имеющихся экспериментальных данных^{/10,15/}.

В работе^{/10/}, на основе партонной интерпретации вкладов ряда диаграмм операторов твиста 4^{/11/}, нами было установлено, что первую степенную $1/Q^2$ -поправку можно учесть, если структурные функции в приближении $\tau = 4$ записать в виде:

$$F_k^{\tau=4}(x, Q^2) = \left(1 + \frac{h^2}{Q^2} x \frac{\partial}{\partial x}\right) F_k^{\text{ПМ}}(x, Q^2). \quad /11/$$

Здесь $F_k^{\text{ПМ}}$ - структурные функции, вычисленные по формулам партонной модели / $\tau = 2$ /. В случае $e(\mu)p$ и $\nu(\bar{\nu})p$ -рассеяния имеем:

$$F_2^{\text{ПМ}}(x, Q^2) = F_2^{\tau=2}(x, Q^2) = xv(x, Q^2) + x \frac{20}{9} s(x, Q^2),$$

$$F_3^{\text{ПМ}}(x, Q^2) = F_3^{\tau=2}(x, Q^2) = -3v(x, Q^2). \quad /12/$$

Существование партонной интерпретации и структура формулы /11/ позволяют использовать все приведенные выше выражения /3/, /4/, /6/-/10/ для определения значения $\sin^2 \theta_w$ в приближении $\tau = 4$, т.е. с учетом $1/Q^2$ -поправки. При этом достаточно вместо ФР $xv^{\tau=2} = xv(x, Q^2)$ и $xs^{\tau=2} = xs(x, Q^2)$ подставить выражения:

$$\begin{Bmatrix} xv^{\tau=4}(x, Q^2) \\ xs^{\tau=4}(x, Q^2) \end{Bmatrix} = \left(1 + \frac{h^2}{Q^2} x \frac{\partial}{\partial x}\right) \begin{Bmatrix} xv(x, Q^2) \\ xs(x, Q^2) \end{Bmatrix}. \quad /13/$$

Параметр h^2 /найденный из эксперимента/ определяет масштаб $1/Q^2$ -поправки.

Таким образом, в рамках подхода /10,11/ мы располагаем всеми необходимыми формулами для оценки влияния твистовой поправки на извлекаемое из экспериментов по глубококонепругому νN -рассеянию значение $\sin^2 \theta_w$.

§2. ОЦЕНКА ВЛИЯНИЯ ТВИСТОВОЙ ПОПРАВКИ НА ЗНАЧЕНИЕ $\sin^2 \theta_w$

Для решения поставленной задачи воспользуемся следующим алгоритмом, который позволяет оценить влияние твистовой поправки на $\sin^2 \theta_w$ независимо от результатов конкретных экспериментов по определению $\sigma^{\nu N}$.

1/ Зафиксируем некоторую совокупность экспериментальных данных по глубококонепругому рассеянию /например, μp -рассеянию /16//.

2/ Проанализируем эти данные как в приближении $\tau = 2$ /по формуле /12//, так и в приближении $\tau = 4$ /по формуле /11//. При этом функции $v(x, Q^2)$ и $s(x, Q^2)$, входящие в /12/ и /13/, выберем в виде /17/:

$$v(x, Q^2) = \frac{(1-x)^\tau}{\sqrt{x}} \frac{H^{(2)}(1-x)}{B(1/2, \tau+1)}, \quad s(x, Q^2) = \frac{\tau-g}{8x} (1-x)^{\tau+1/2} H^{(3)}(1-x), \quad /14/$$

где

$$H^{(k)}(y) = \frac{\Phi(g, \tau+k/2; -\beta y)}{\Phi(g, \tau+3/2; -\beta)},$$

$$\tau = \tau(Q^2) = \tau_0 + \frac{16}{25}s; \quad g = g(Q^2) = g_0 + g_1 \cdot s;$$

$$\beta = \beta(Q^2) = \beta_0 + \beta_1 \cdot s; \quad s = \ln(\ln Q^2 / \Lambda^2) / \ln Q_0^2 / \Lambda^2).$$

В результате такого анализа в обоих приближениях будут зафиксированы все свободные параметры, входящие в формулы /14/ и, следовательно, определены ФР $v^{\tau=2}(x, Q^2)$, $s^{\tau=2}(x, Q^2)$ /твист = 2/, $v^{\tau=4}(x, Q^2)$, $s^{\tau=4}(x, Q^2)$ /твист = 4/. Заметим, что логарифмическая Q^2 -зависимость этих ФР определяется эволюционными уравнениями /12/.

3/ Зная выражения для $v^{\tau=2}$, $s^{\tau=2}$ и $v^{\tau=4}$, $s^{\tau=4}$ по формулам /8/-/10/ вычислим A_2 , B_2 , C_2 / $\tau = 2$ / и A_4 , B_4 , C_4 / $\tau = 4$ /.

4/ Зададим для ξ некоторое пробное значение /например, $\xi = 0,215$ /. Подставим его ($\xi = \xi_2$) и величины A_2 , B_2 , C_2 в формулу /7/, вычислим $\sigma^{\nu N} = \sigma_{\text{пр}}$.

5/ Зная $\sigma_{\text{пр}}$ и величины A_4 , B_4 , C_4 по формуле /7/, найдем $\xi = \xi_4$. Сравнивая ξ_4 и ξ_2 , получим оценку искомого эффекта.

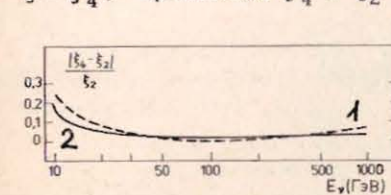


Рис. 1

Получив этот алгоритм, мы получили результаты, приведенные на рис.1, где показана зависимость относительного изменения $\sin^2 \theta_w - |\xi_4 - \xi_2| / \xi_2$ от энергии нейтрино E_ν . Кривая 1 отвечает обработке данных при относительно больших значениях Q^2 : $11,5 \leq Q^2 \leq 170$ и $0,35 \leq x \leq 0,65$

/на энергетической оси этой области соответствует интервал энергии $50 \leq E_\nu \leq 300$ ГэВ/. Здесь данные одинаково хорошо описываются как в приближении твиста $\tau = 2$, так и в приближении твиста $\tau = 4$ и $\xi_4 = \xi_2$.

Вне области определения ФР /на энергетической оси - при $E_\nu \leq 50$ и $E_\nu \geq 300$ / вступает в силу различие в поведении выражений для $v^{\tau=2}(x, Q^2)$ ($s^{\tau=2}$) и $v^{\tau=4}(x, Q^2)$ ($s^{\tau=4}$), что приводит к возрастанию $\Delta\xi = |\xi_4 - \xi_2|$, особенно сильному при малых E_ν .

Однако из того факта, что в известной кинематической области данные одинаково хорошо описываются формулами приближений $\tau = 2$ и $\tau = 4$, еще не следует однозначно, что в этой области $\xi_4 = \xi_2$. Иллюстрацией этому служит кривая 2, соответствующая обработке данных при относительно малых значениях Q^2 : $2,5 \leq Q^2 \leq 65$ ГэВ² и $0,03 \leq x \leq 0,65$.

Несмотря на одинаково хорошее описание данных, в этом случае при учете твистовой поправки происходит перераспределение вкладов в сечение /3/ кварков различного аромата, что приводит к относительному изменению $\sin^2 \theta_w - |\xi_4 - \xi_2| / \xi_2 \geq 0,02 \div 0,03$ на всей энергетической оси E_ν .

Возрастание относительного изменения $\sin^2 \theta_w$ при уменьшении E_ν также имеет место, однако оно менее значительно, т.к. экстра-

поляция начинается с меньших энергий E_ν /или Q^2 / и различие в поведении функций $v^{\tau=2}(s^{\tau=2})$ и $v^{\tau=4}(s^{\tau=4})$ не успевают сильно проявиться.

Параметры функций /14/, определяющие ФР $v^{\tau=2,4}$ и $s^{\tau=2,4}$, использованные для построения кривых 1 и 2, даны в таблице.

Таблица

	β_0	τ_0	β_0	β_1	β_1	Q_0^2	Λ	h^2	
1	1,79	2,48	-1,08	0,83	-1,22	10	0,14	-	/ $\tau = 2$ /
	1,43	2,13	-1,32	0,84	-1,03	10	0,59	0,87	/ $\tau = 4$ /
2	0,96	1,51	-1,99	0,53	-0,78	4	0,40	-	/ $\tau = 2$ /
	0,48	1,03	-3,32	0,59	+0,04	4	1,18	0,66	/ $\tau = 4$ /

/В данном случае Λ является всего лишь подгоночным параметром, регулирующим логарифмическую Q^2 -зависимость ФР, точное его значение в настоящей работе нас не интересует/.

В качестве дополнения приведем некоторые другие результаты, полученные по схеме, аналогичной вышеизложенному алгоритму.

1/. Как известно, простейшая формула для определения из νN -рассеяния значения $\xi = \sin^2 \theta_W$ имеет вид:

$$R_{I=0}^{\nu N} = \frac{\sigma(\nu N \rightarrow \nu X)}{\sigma(\nu N \rightarrow \mu X)} = \frac{1}{2} - \xi + \frac{20}{27} \xi^2. \quad /15/$$

Более точная формула, учитывающая /в приближении $m_c = 0$ / наличие морских кварков и Q^2 -зависимость ФР, записывается в виде:

$$R_{I=0}^{\nu N} = \frac{1}{2} - \xi + \frac{5}{9} \xi^2 \left(1 + \frac{D_R}{D_L}\right). \quad /16/$$

Погрешность, обусловленная использованием формулы /15/ вместо /16/, составляет $3 \div 4\%$ и не зависит от энергии.

2/. Погрешность в значении $\sin^2 \theta_W$, обусловленная пренебрежением неизоскалярностью железа и CH_2 , составляет 0,7% и 1,3%, соответственно.

3/. За счет использования различных параметризаций при определении $\xi = \sin^2 \theta_W$ в приближении $\tau = 2$ /соответствующих кривым 1 и 2/ изменение ξ составляет $2 \div 5\%$.

4/. На рис.2 представлены кривые, иллюстрирующие изменение $\sin^2 \theta_W$ при учете порога рождения очарованного кварка. Результат получен в приближении $\tau = 2$ /пунктир - $m_c^2 = 5$; сплошная - $m_c^2 = 1$ /.

5/. Влияние учета твистовой поправки в "чистом виде" на изменение $\sin^2 \theta_W$ дано на рис.3. Как и ожидалось, эффект вышших твистов достаточно велик при малых энергиях /малые Q^2 / и исчезает с ростом энергии /с ростом Q^2 /. На графике ξ_4 - результат использования приближения $\tau = 4$, ξ_4 - результат того же приближения, но при $h^2 = 0$.

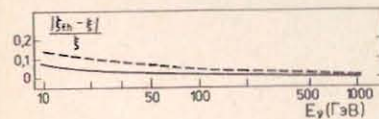


Рис.2

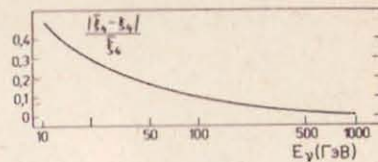


Рис.3

ЗАКЛЮЧЕНИЕ

Проанализировано влияние поправки твиста 4 на извлекаемое из глубоконеупругого νN -рассеяния значение $\sin^2 \theta_W$ - фундаментального параметра теории электрослабого взаимодействия.

Анализ основывается на использовании партоноподобной интерпретации вкладов в структурные функции операторов твиста 4. Величина твистовой $1/Q^2$ -поправки извлекается из обработки данных в приближении твиста 4. Основной результат работы приведен на рис.1. Показано, что учет твистовой поправки приводит к изменению извлеченного значения $\sin^2 \theta_W$ на $2 \div 3\%$ при $E_\nu \geq 50$ ГэВ. С уменьшением энергии E_ν , эта погрешность возрастает, достигая $10 \div 12\%$ при $E_\nu \approx 10$ ГэВ.

Отметим в заключение, что в используемом нами приближении твиста 4 /11/ не учтены твистовые вклады, обусловленные комптоновским рассеянием промежуточного бозона на двух кварках /5,18/. Однако экспериментальное определение величины твистовой поправки позволяет надеяться на их эффективный учет.

Авторы благодарят Д.Ю.Бардина, С.А.Бунятова, Л.И.Липидуса, С.Г.Коваленко, В.В.Люкова за интерес к работе и плодотворные обсуждения.

ЛИТЕРАТУРА

1. Glashow S.L. Nucl.Phys., 1961, 22, p.579; Weinberg S. Phys.Rev.Lett., 1967, 19, p.1264; Salam A. In: Elementary Particle Theory. (Ed.by N.Swartholm). Stockholm, 1968, p.367. Nobel Symposium No.8.
2. Ellis J. et al. Nucl.Phys., 1980, B176, p.61.
3. Wheeler J.E., Llewellyn Smith C.H. Nucl.Phys., 1982, B208, p.27; Marciano W.J., Sirlin A. Nucl.Phys., 1981, B208, p.27.

- B159, p.442; Paschos E.A. Preprint DO-TH.82/06, 1982.
4. Gluck M., Reya E. Phys.Rev.Lett., 1981, 47, p.1104.
 5. Jaffe R.L., Soldate M. Phys.Rev., 1982, D26, p.49.
 6. Luttrell S.P., Wada S., Weber B.R. Nucl.Phys., 1981, B188, p.219; Luttrell S.P., Wada S. Nucl.Phys., 1982, B197, p.290.
 7. DeGrand T. et al. Phys.Rev., 1975, D12, p.2060.
 8. Llewellyn-Smith C.H. Nucl.Phys., 1983, B228, p.205.
 9. Fajfer S., Oakes R.J. Fermilab-Pub-83/80 THY, 1983; Castorina P., Mulders P.J. NIKHEF 1984/P-15, CTP-1171, 1984.
 10. Бедняков В.А. и др. ЯФ, 1984, т.40, с.770.
 11. Ellis R.K., Furmanski W., Petronzio R. Nucl.Phys., 1982, B207, p.1; Nucl.Phys., 1983, B212, p.29.
 12. Липатов Л.А. ЯФ, 1974, 20, с.181; Altarelli G., Parisi G. Nucl.Phys., 1977, B126, p.208.
 13. Politzer H.D. Phys.Rep., 1974, C14, p.129; Amati D., Petronzio R., Veneziano G. Nucl.Phys., 1978, B140, p.54; B146, p.29; Гайер Б., Робашик Д., Вицорек Э. ЭЧАЯ, 1980, 11, с.132; Ефремов А.В., Радюшкин А.В. ТМФ, 1980, 44, с.17,157,327; Радюшкин А.В. ЭЧАЯ, 1983, 14, с.58.
 14. Kim J.E. et al. Rev.Mod.Phys., 1981, 53, p.211.
 15. Abbot L.F., Atwood W.B., Barnett R.M. Phys.Rev., 1980, D22, p.582; Devoto A. et al. Phys.Rev., 1983, D27, p.508; Eisele F. et al. Phys.Rev., 1983, D26, p.41.
 16. Aubert J.J. et al. Phys.Lett., 1981, B105, p.315.
 17. Isaev P.S., Kovalenko S.G. Hadronic Journal, 1980, 3, p.919; Bednyakov V.A. et al. JINR, E2-82-467, Dubna, 1982. Златев И.С. и др. ЯФ, 1982, 35, с.454; Бедняков В.А. и др. ЯФ, 1982, 36, с.745.
 18. Shuryak E.V., Wainshtein A.I. Nucl.Phys., 1982, B199, p.451; Nucl.Phys., 1982, B201, p.141.

Рукопись поступила в издательский отдел
18 декабря 1984 года.

Бедняков В.А., Иванов Ю.П., Исаев П.С. P2-84-816
О влиянии твистовых поправок на $\sin^2 \theta_W$

Проанализировано влияние поправки твиста 4 на извлекаемое из глубоконеупругого νN -рассеяния в канале нейтральных токов значение $\sin^2 \theta_W$ - фундаментального параметра теории электрослабого взаимодействия. Используется партоноподобная интерпретация вкладов в структурные функции операторов твиста 4. Показано, что учет твистовой поправки приводит к изменению извлеченного значения $\sin^2 \theta_W$ на $2 \div 3\%$ при $E_\nu \geq 50$ ГэВ. С уменьшением E_ν различие возрастает, достигая $10 \div 15\%$ при $E_\nu \approx 10$ ГэВ.

Работа выполнена в Лаборатории ядерных проблем ОИЯИ.

Препринт Объединенного института ядерных исследований. Дубна 1984